
資料 5-2

設計津波の対象津波群の選定（案）

目次

| | |
|-------------------------------|----|
| 1. 設計津波の対象津波群の選定（案） | 1 |
| 1.1 平地の設定 | 1 |
| 1.2 地域海岸毎の設計津波の対象津波群の選定 | 1 |
| (1) 地域海岸 1 | 2 |
| (2) 地域海岸 2 | 3 |
| (3) 地域海岸 3 | 4 |
| (4) 地域海岸 4 | 5 |
| (5) 地域海岸 5 | 6 |
| (6) 地域海岸 6 | 7 |
| (7) 地域海岸 7 | 8 |
| (8) 地域海岸 8 | 9 |
| (9) 地域海岸 9 | 10 |
| (10) 地域海岸 10 | 11 |
| (11) 地域海岸 11 | 12 |
| (12) 地域海岸 12 | 13 |
| (13) 地域海岸 13 | 14 |
| (14) 地域海岸 14 | 15 |
| (15) 地域海岸 15 | 16 |

※本資料記載の津波高は、対象津波群の選定の段階（潮位 T. P. +0m、50m メッシュ）の数値です。

今後、詳細津波シミュレーションにより浸水想定となる津波高を算出します。

1. 設計津波の対象津波群の選定（案）

1.1 平地の設定

設計津波の対象津波群の選定に使用するデータは表 1.1.1 のとおりとする。資料 5-1 で記載したが、痕跡データがきわめて少ない庄内沖地震津波(1833)、新潟地震津波(1964)は、再現性の検証が不十分となるため、痕跡を補完する津波シミュレーションは実施しない。ただし、設計津波水位 (L1) の設定時には、上記 2 津波の痕跡値 (信頼度 A) は使用するものとし、シミュレーション結果と併記する。

設計津波水位 (L1) は、海岸保全区域※の堤防整備において必要となる (※海岸保全区域とは、海水による浸食、または地盤変動による被害から海岸を守る必要がある区域)。上記の区域のうち、空中写真 (Google Earth) により、家屋等の保全対象がある低地を「平地」とした。

表 1.1.1 設計津波の対象津波群の選定に使用するデータ

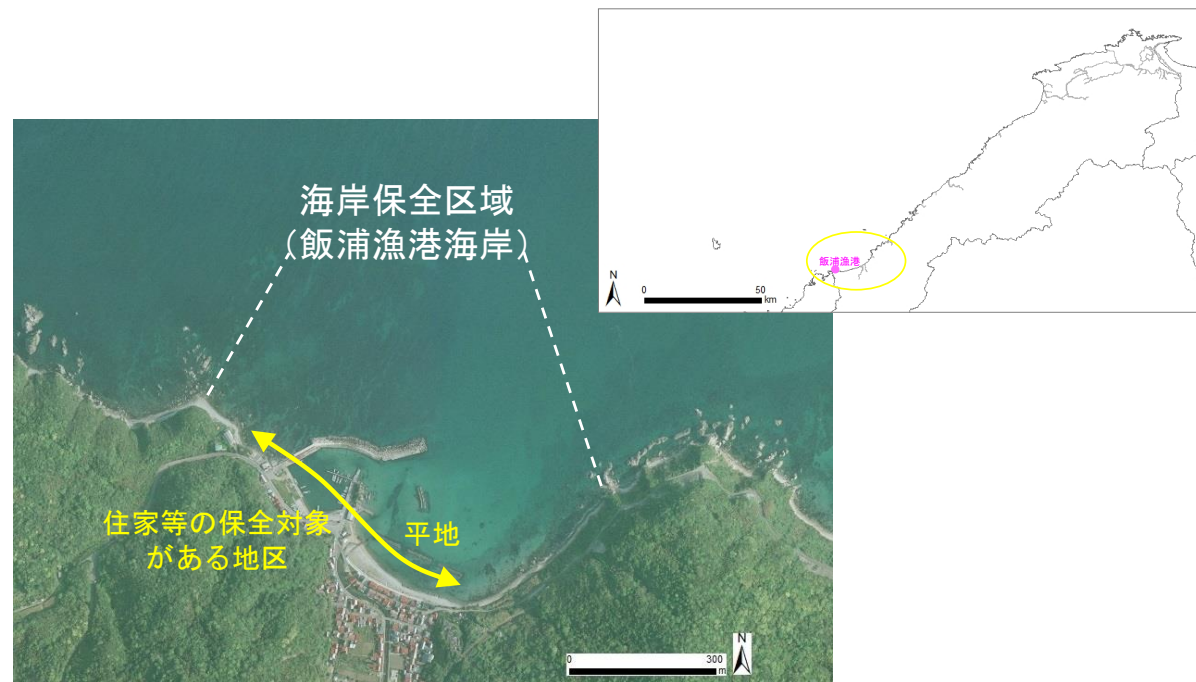
| 沿岸 | 地震津波 | 痕跡値(信頼度A) | 計算値(50mメッシュ) |
|--------------------|------------------|-----------|--------------|
| 島根沿岸 (地域海岸1~5) | 新潟地震津波(1964)※ | ○ | - |
| | 日本海中部地震津波(1983) | ○ | ○ |
| | 北海道南西沖地震津波(1993) | ○ | ○ |
| 隠岐沿岸 (地域海岸6~16) | 庄内沖地震津波(1833)※ | ○ | - |
| | 日本海中部地震津波(1983) | ○ | ○ |
| | 北海道南西沖地震津波(1993) | ○ | ○ |

※) 痕跡データがきわめて少ないため、痕跡値(信頼度A)のみ使用

1.2 地域海岸毎の設計津波の対象津波群の選定

表 1.1.1 に示す歴史津波の沿岸津波高を地域海岸毎に整理する。整理した結果、以下のことがわかった。整理した結果をふまえると、日本海中部地震津波 (1983) と北海道南西沖地震津波(1993) を設計津波の対象津波群に選定する。

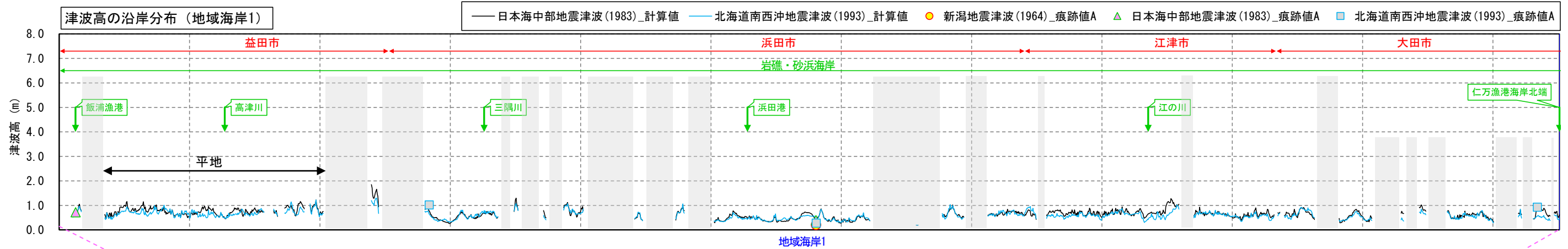
- 島根沿岸、隠岐沿岸は地形が複雑であるため、地点によって津波高が最大となる地震津波が異なる。
- 新潟地震津波 (1964) の痕跡値 (信頼度 A) は地域海岸 1 と 5 に存在する。地域海岸 1 と 5 における津波高は、日本海中部地震津波 (1983)、北海道南西沖地震津波(1993)の津波高より低い。
- 庄内沖地震津波 (1833) の痕跡値 (信頼度 A) は地域海岸 14 に存在する。地域海岸 14 における津波高は、日本海中部地震津波 (1983)、北海道南西沖地震津波(1993)の津波高より低い。



※地理院タイル (<http://maps.gsi.go.jp/development/ichiran.html>) を加工して島根県作成

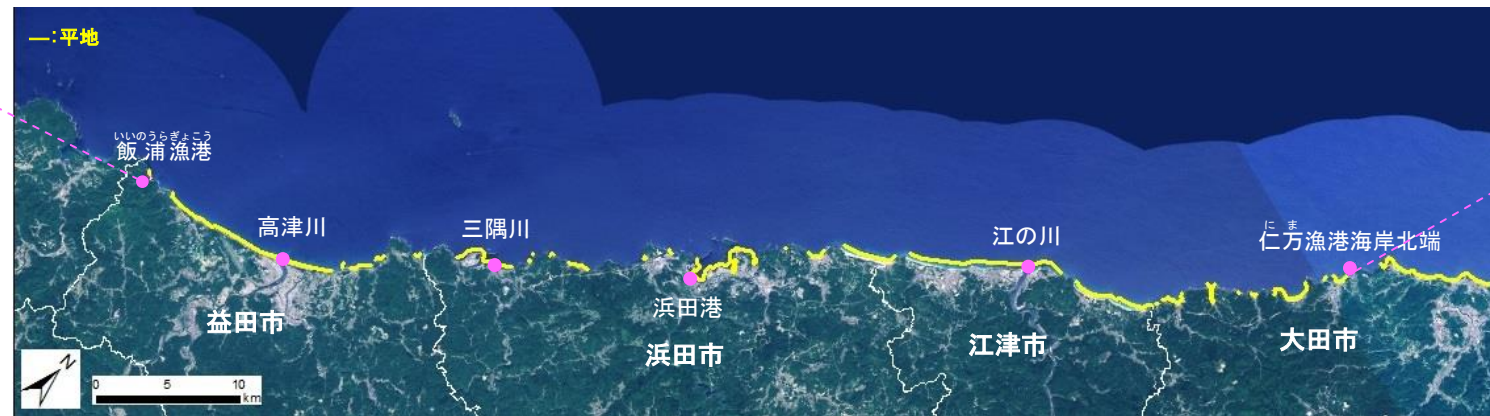
図 1.1.1 平地の設定例 (飯浦漁港海岸周辺)

(1) 地域海岸 1

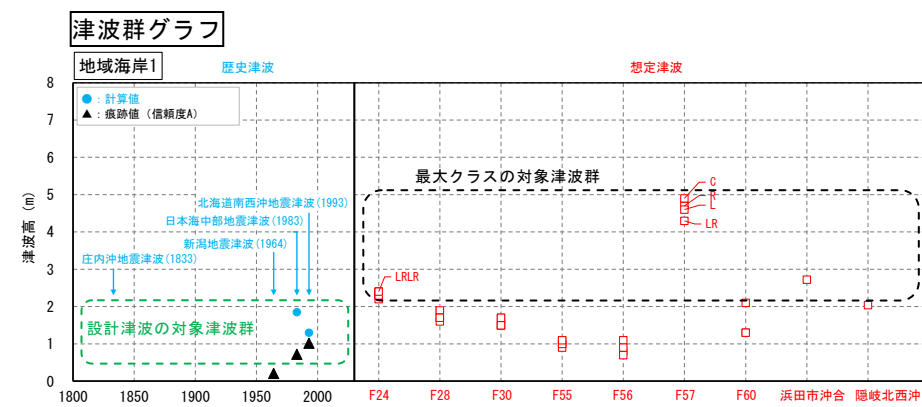


※計算値は 50m メッシュによる計算結果であり、平地を対象として整理した。

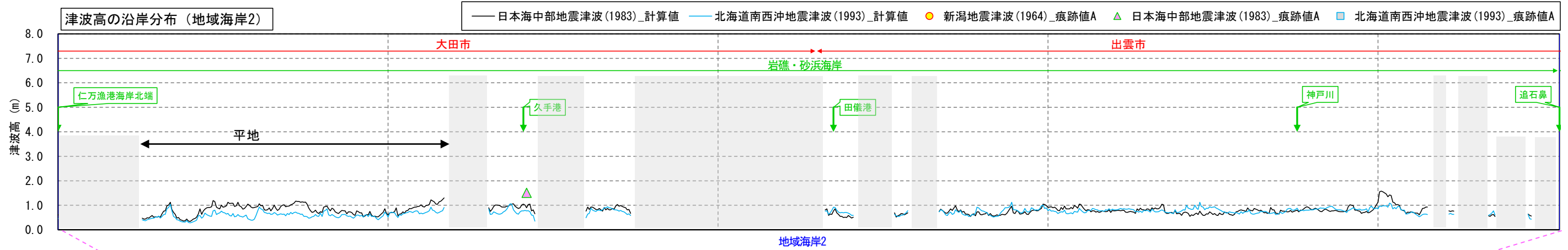
図 2 津波高の沿岸分布



出典：地理院タイル（データソース：Landsat8 画像(GSI,TSIC,GEO Grid/AIST), Landsat8 画像(courtesy of the U.S. Geological Survey), 海底地形(GEBCO)、<http://maps.gsi.go.jp/development/ichiran.html>）を加工して島根県作成



(2) 地域海岸 2

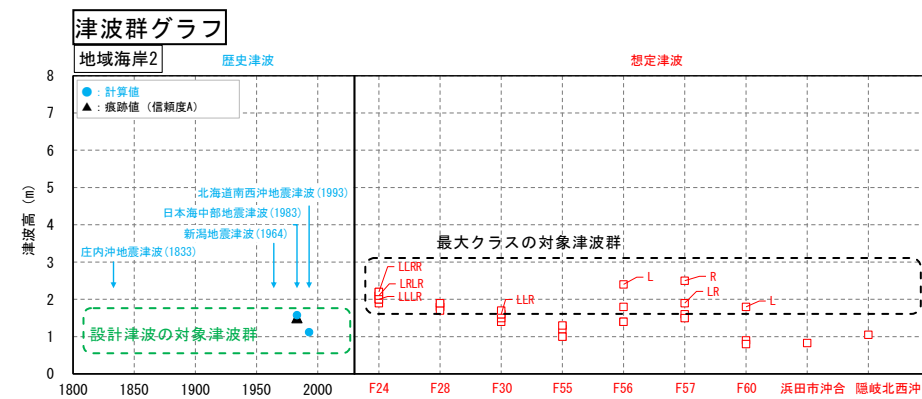


※計算値は 50m メッシュによる計算結果であり、平地を対象として整理した。

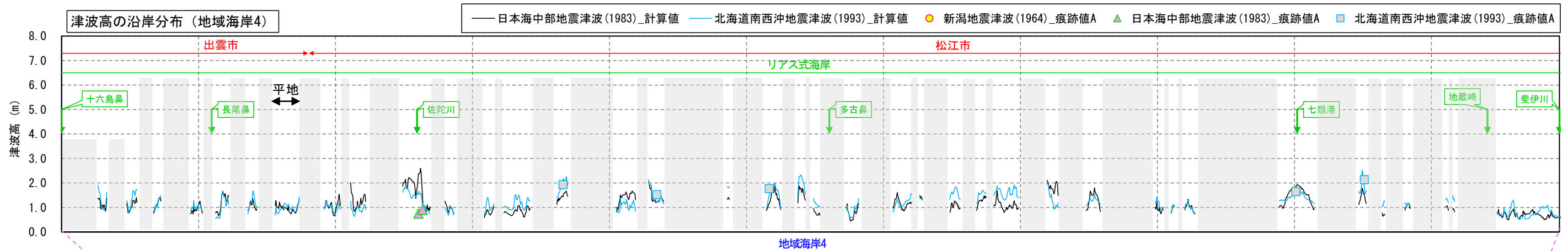
図 3 津波高の沿岸分布



出典：地理院タイル（データソース：Landsat8 画像(GSI,TSIC,GEO Grid/AIST), Landsat8 画像(courtesy of the U.S. Geological Survey), 海底地形(GEBCO)), <http://maps.gsi.go.jp/development/ichiran.html> を加工して島根県作成

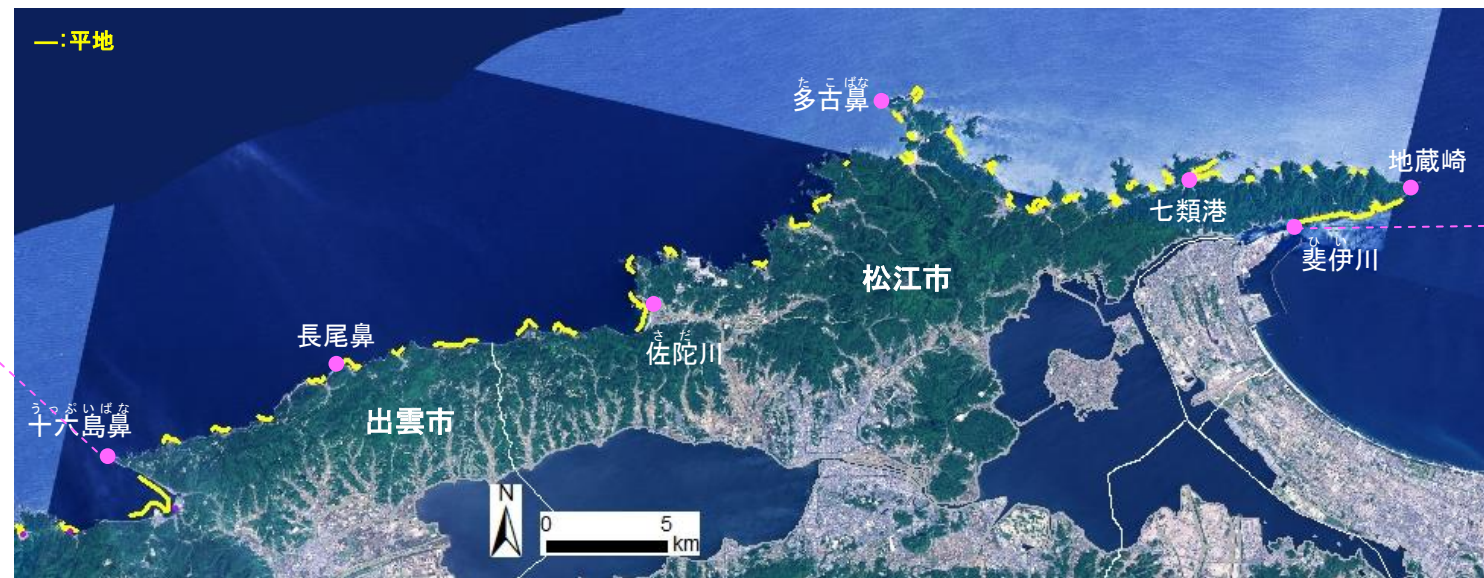


(4) 地域海岸 4

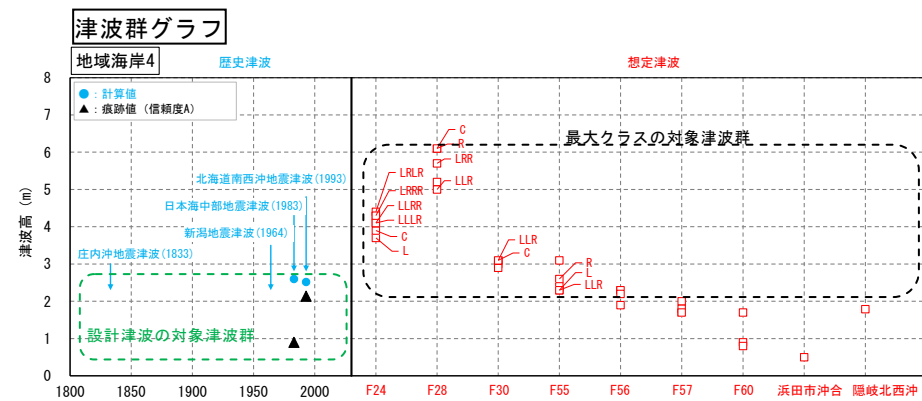


※計算値は 50m メッシュによる計算結果であり、平地を対象として整理した。

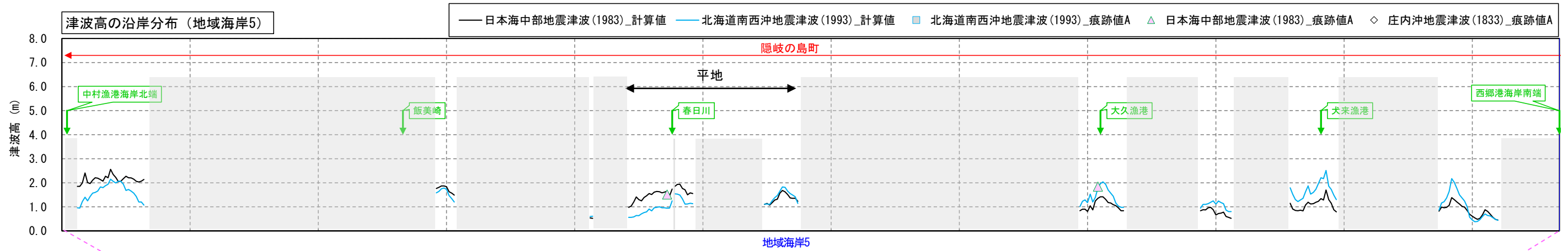
図 5 津波高の沿岸分布



出典：地理院タイル（データソース：Landsat8 画像(GSI,TSIC,GEO Grid/AIST), Landsat8 画像(courtesy of the U.S. Geological Survey), 海底地形(GEBCO)), <http://maps.gsi.go.jp/development/ichiran.html> を加工して島根県作成

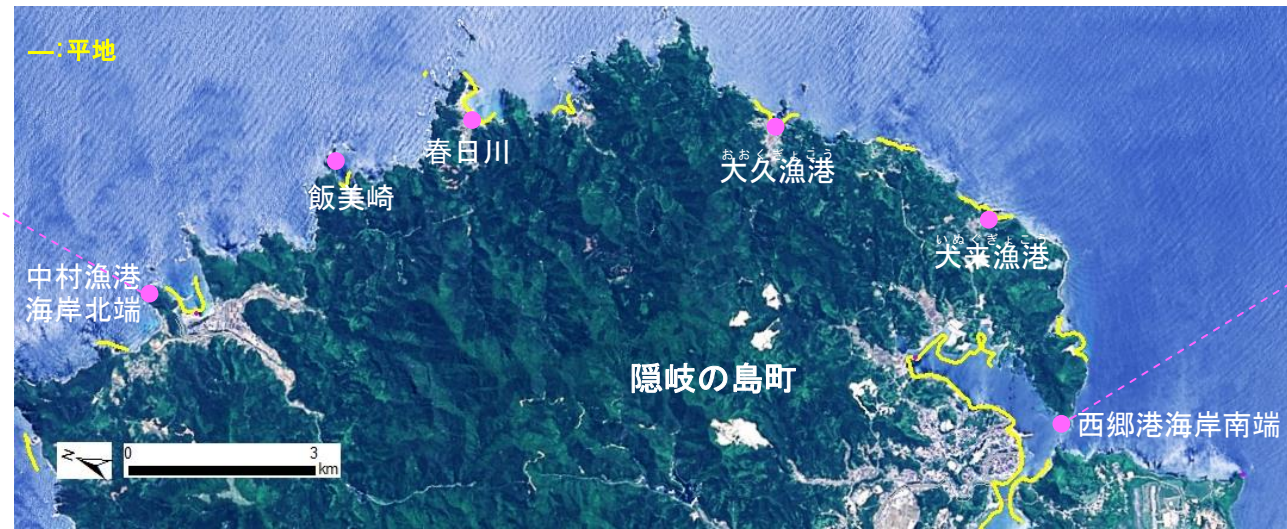


(5) 地域海岸 5

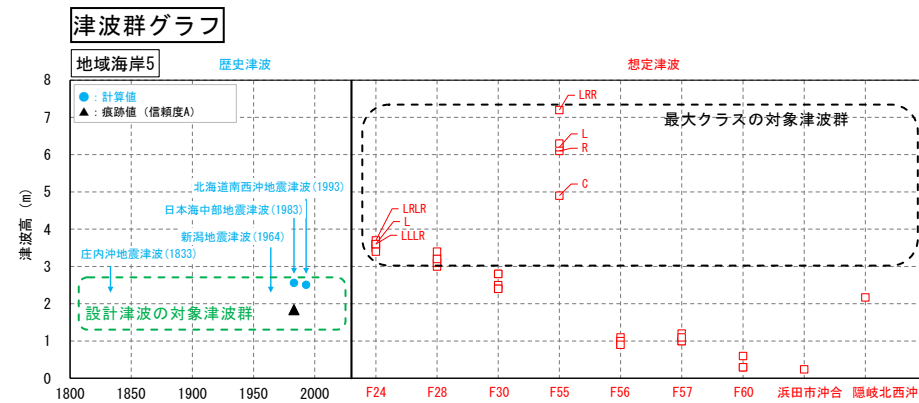


※計算値は 50m メッシュによる計算結果であり、平地を対象として整理した。

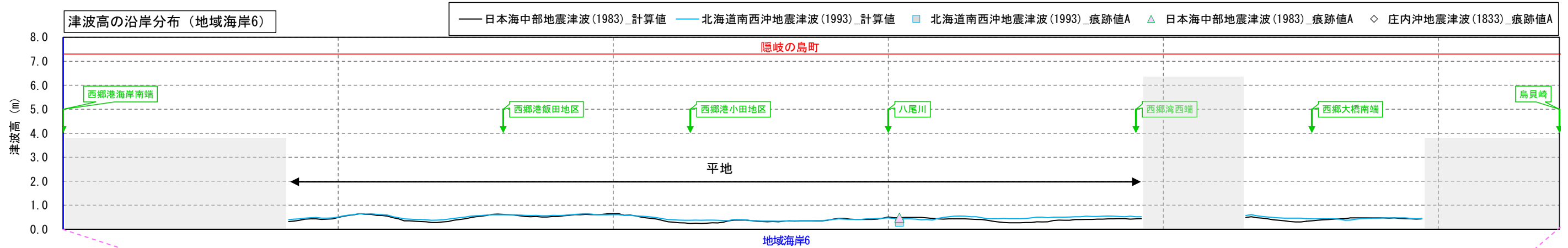
図 6 津波高の沿岸分布



出典：地理院タイル（データソース：Landsat8 画像(GSI,TSIC,GEO Grid/AIST), Landsat8 画像(courtesy of the U.S. Geological Survey), 海底地形(GEBCO)、<http://maps.gsi.go.jp/development/ichiran.html>）を加工して島根県作成



(6) 地域海岸 6

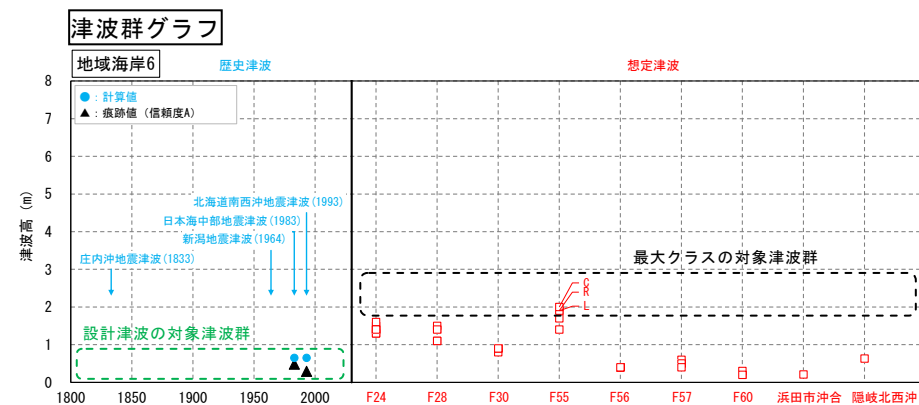


※計算値は 50m メッシュによる計算結果であり、平地を対象として整理した。

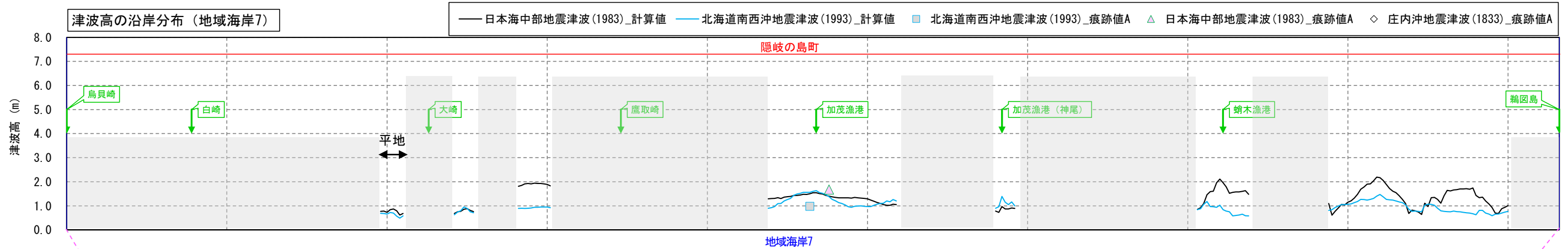
図 7 津波高の沿岸分布



出典：地理院タイル (データソース：Landsat8 画像(GSI,TSIC,GEO Grid/AIST), Landsat8 画像(courtesy of the U.S. Geological Survey), 海底地形(GEBCO))、<http://maps.gsi.go.jp/development/ichiran.html> を加工して島根県作成



(7) 地域海岸 7

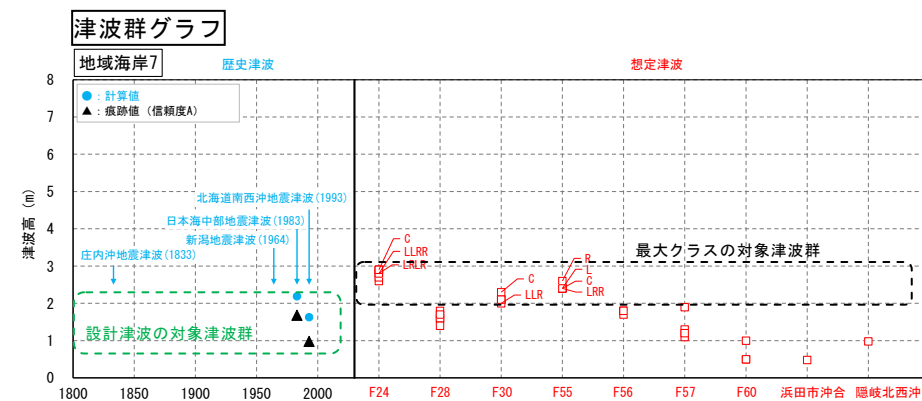


※計算値は 50m メッシュによる計算結果であり、平地を対象として整理した。

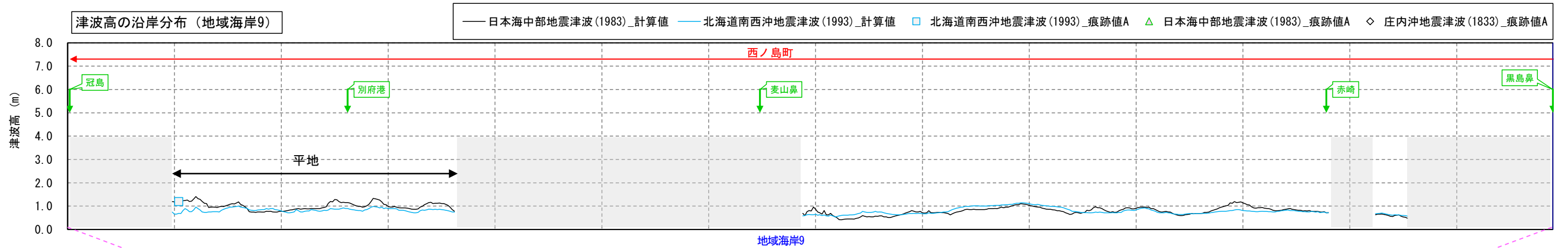
図 8 津波高の沿岸分布



出典：地理院タイル (データソース：Landsat8 画像(GSI,TSIC,GEO Grid/AIST), Landsat8 画像(courtesy of the U.S. Geological Survey), 海底地形(GEBCO))、<http://maps.gsi.go.jp/development/ichiran.html> を加工して島根県作成



(9) 地域海岸 9

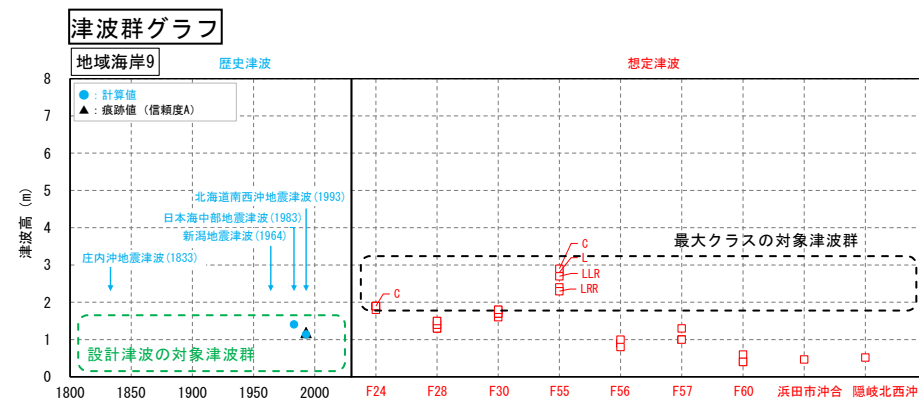


※計算値は 50m メッシュによる計算結果であり、平地を対象として整理した。

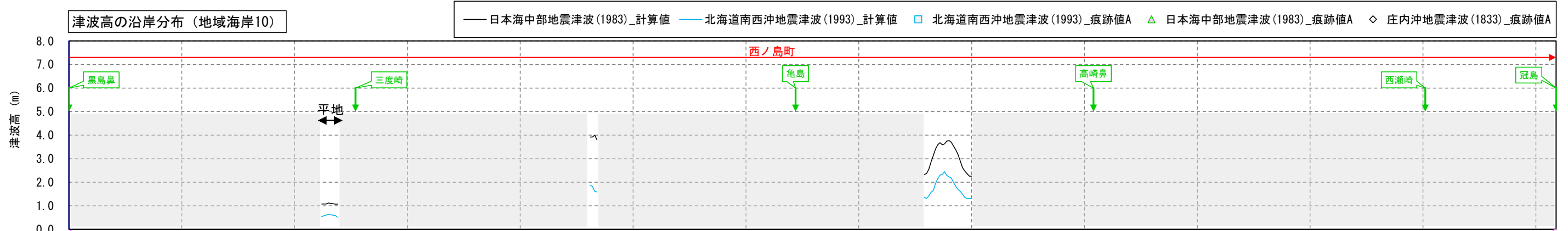
図 10 津波高の沿岸分布



出典：地理院タイル（データソース：Landsat8 画像(GSI,TSIC,GEO Grid/AIST), Landsat8 画像(courtesy of the U.S. Geological Survey), 海底地形(GEBCO)), <http://maps.gsi.go.jp/development/ichiran.html> を加工して島根県作成



(10) 地域海岸 10

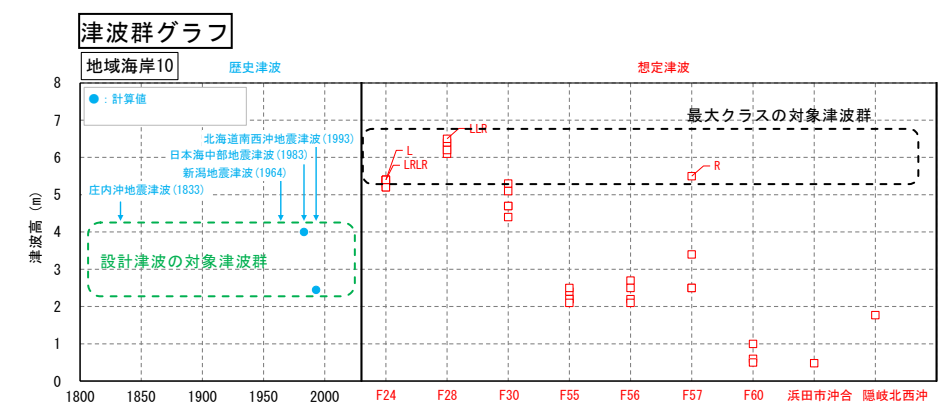


※計算値は 50m メッシュによる計算結果であり、平地を対象として整理した。

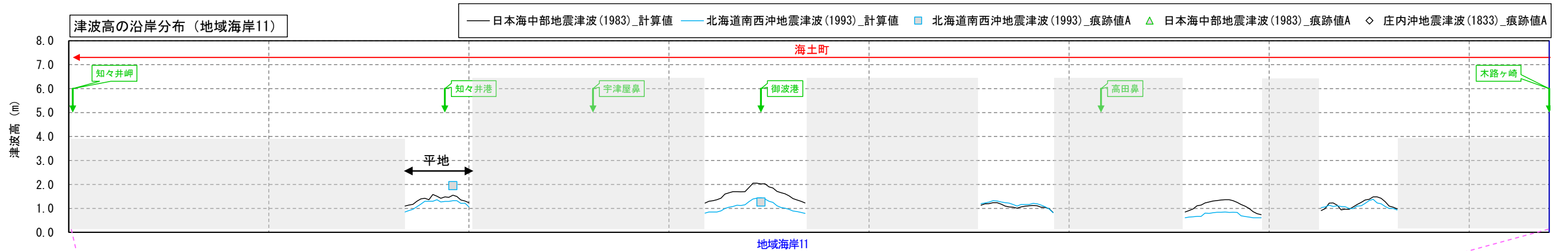
図 11 津波高の沿岸分布



出典：地理院タイル（データソース：Landsat8 画像(GSI,TSIC,GEO Grid/AIST), Landsat8 画像(courtesy of the U.S. Geological Survey), 海底地形(GEBCO)、<http://maps.gsi.go.jp/development/ichiran.html>）を加工して島根県作成



(11) 地域海岸 11

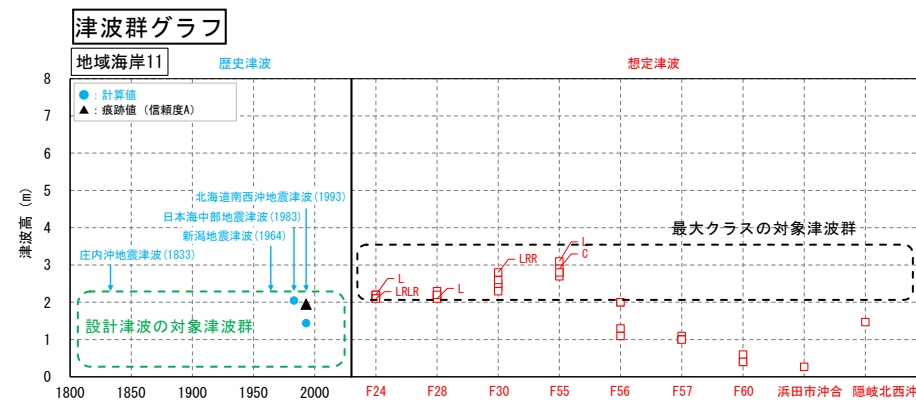


※計算値は 50m メッシュによる計算結果であり、平地を対象として整理した。

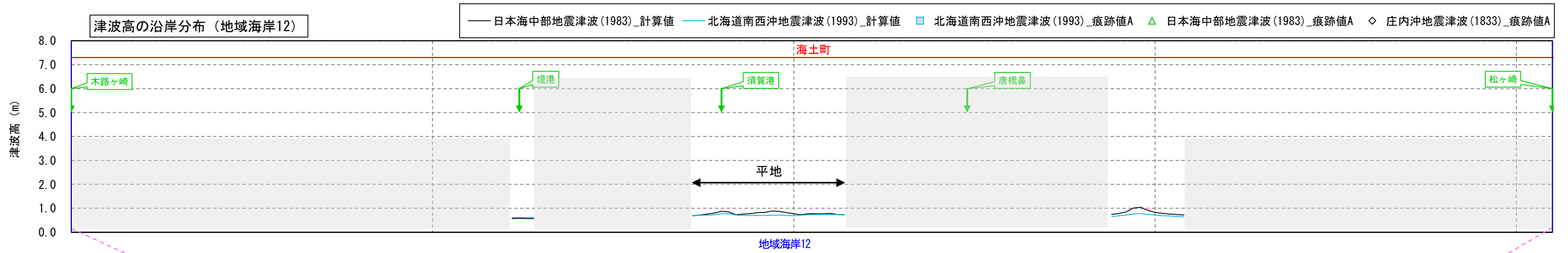
図 12 津波高の沿岸分布



出典：地理院タイル (データソース：Landsat8 画像(GSI,TSIC,GEO Grid/AIST), Landsat8 画像(courtesy of the U.S. Geological Survey), 海底地形(GEBCO)、 <http://maps.gsi.go.jp/development/ichiran.html>) を加工して島根県作成



(12) 地域海岸 12

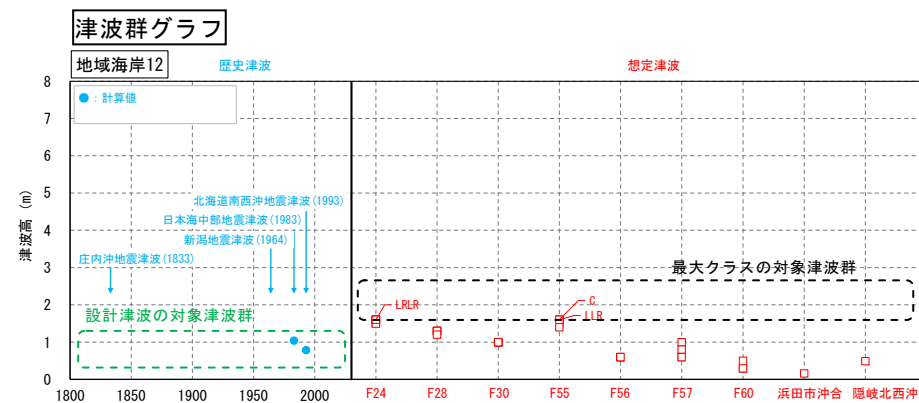


※計算値は 50m メッシュによる計算結果であり、平地を対象として整理した。

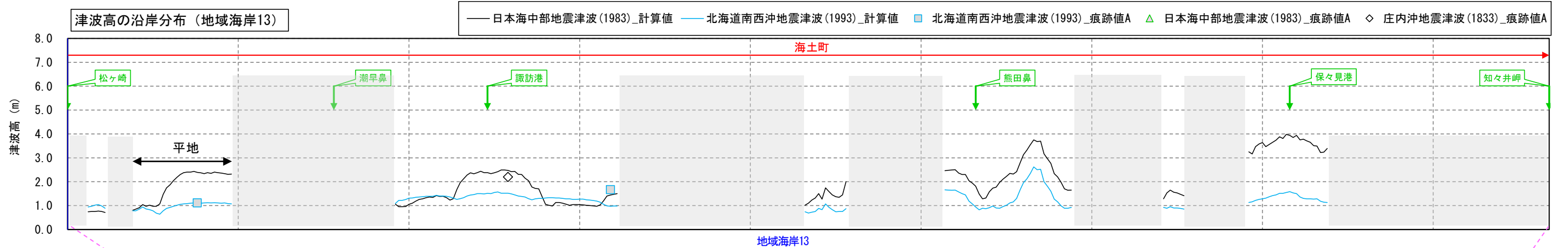
図 13 津波高の沿岸分布



出典：地理院タイル（データソース：Landsat8 画像(GSI,TSIC,GEO Grid/AIST), Landsat8 画像(courtesy of the U.S. Geological Survey), 海底地形(GEBCO)、 <http://maps.gsi.go.jp/development/ichiran.html>) を加工して島根県作成



(13) 地域海岸 13

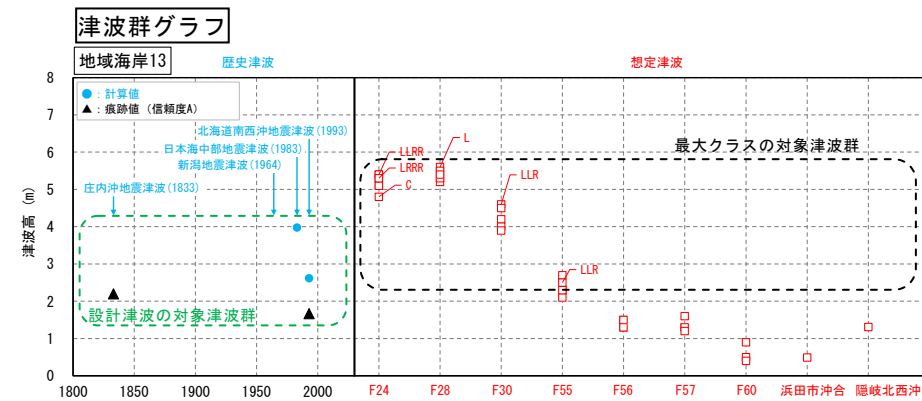


※計算値は 50m メッシュによる計算結果であり、平地を対象として整理した。

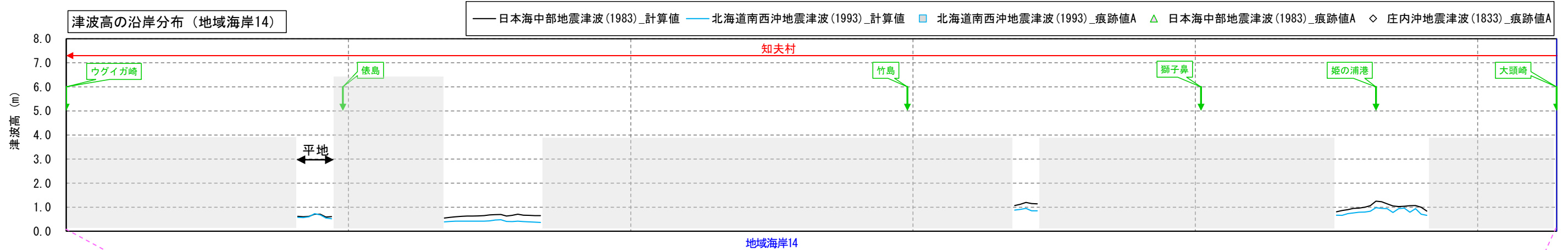
図 14 津波高の沿岸分布



出典：地理院タイル (データソース：Landsat8 画像(GSI,TSIC,GEO Grid/AIST), Landsat8 画像(courtesy of the U.S. Geological Survey), 海底地形(GEBCO))、<http://maps.gsi.go.jp/development/ichiran.html> を加工して島根県作成



(14) 地域海岸 14

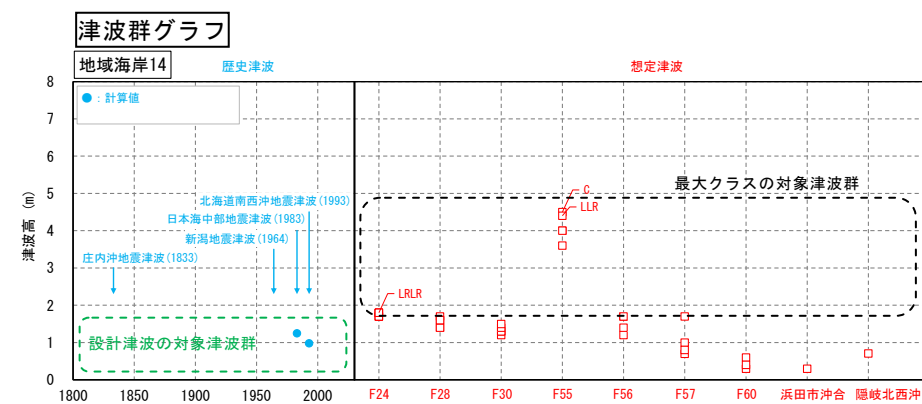


※計算値は 50m メッシュによる計算結果であり、平地を対象として整理した。

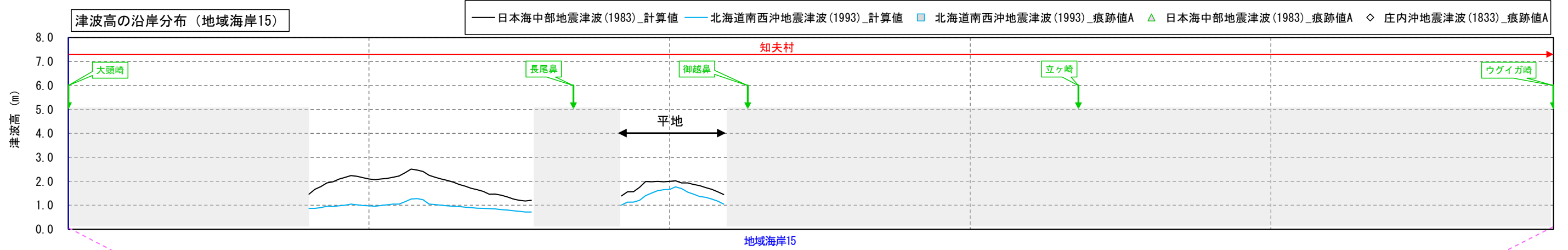
図 15 津波高の沿岸分布



出典：地理院タイル (データソース：Landsat8 画像(GSI,TSIC,GEO Grid/AIST), Landsat8 画像(courtesy of the U.S. Geological Survey), 海底地形(GEBCO))、 <http://maps.gsi.go.jp/development/ichiran.html> を加工して島根県作成



(15) 地域海岸 15



※計算値は 50m メッシュによる計算結果であり、平地を対象として整理した。

図 16 津波高の沿岸分布



出典：地理院タイル (データソース：Landsat8 画像(GSI,TSIC,GEO Grid/AIST), Landsat8 画像(courtesy of the U.S. Geological Survey), 海底地形(GEBCO))、<http://maps.gsi.go.jp/development/ichiran.html> を加工して島根県作成

